

УДК 532.59

© 2013 г. О. А. ДРУЖИНИН, Ю. И. ТРОИЦКАЯ

ИЗЛУЧЕНИЕ ВНУТРЕННИХ ВОЛН ТУРБУЛЕНТНЫМ ФОНТАНОМ В СТРАТИФИЦИРОВАННОЙ ЖИДКОСТИ

Проводится численное моделирование фонтана в жидкости со стратификацией плотности методом крупных вихрей. Фонтан формируется при проникновении турбулентной вертикальной струи сквозь пикноклин. Струйное течение инициировано постановкой граничного условия в виде направленного вертикально вверх потока жидкости нейтральной плавучести с осесимметричным гауссовым профилем средней скорости и заданным уровнем флуктуаций. Показано, что при числе Фруда Fr , превышающем критическое значение, фонтан совершает автоколебания, сопровождающиеся генерацией внутренних волн в пикноклине. Преобладает осесимметричная мода автоколебаний, когда верхушка фонтана периодически обрушивается, генерируя пакеты внутренних волн, распространяющихся к периферии области счета. Характерная частота внутренних волн совпадает с частотой колебаний верхушки фонтана и монотонно уменьшается с ростом Fr . Зависимость амплитуды колебаний верхушки фонтана от Fr в численном моделировании хорошо согласуется с предсказанием теоретической модели Ландау для моды неустойчивости в режиме мягкого самовозбуждения.

Ключевые слова: стратификация, затопленная плавучая струя, пикноклин, турбулентность, автоколебания, внутренние волны.

Фонтаном называют струю тяжелой жидкости, имеющую начальный импульс, направленный вверх, и распространяющуюся в легкой жидкости. Струя тормозится под действием силы плавучести (силы тяжести) и достигает максимальной высоты (точки поворота), а затем жидкость движется вниз от точки поворота, формируя противоток, и радиально растекается на уровне своей плавучести. Динамика фонтанов привлекает интерес благодаря многочисленным практическим приложениям в гидродинамике и геофизике [1].

Течение, подобное фонтану, может формироваться в жидкости со стратификацией, близкой к двухслойной, когда легкая жидкость вносится в нижний слой жидкости на некотором расстоянии от скачка плотности (пикноклина). Тогда даже при отсутствии начального импульса под действием силы плавучести жидкость ускоряется и приобретает положительный вертикальный импульс. В случае турбулентного фонтана вовлечение окружающей жидкости приводит к тому, что при подходе к пикноклину всплывающая жидкость имеет плотность, близкую к плотности жидкости в нижнем слое. Таким образом, формируется струя нейтральной (по отношению к жидкости в нижнем слое) плавучести, имеющая ненулевой вертикальный импульс. Если ее скорость достаточно велика, то струя тяжелой жидкости проникает в область выше пикноклина, формируя фонтан. Подобные фонтаны могут возникать, например, при всплывании струй сбросовых вод в океане в окрестности подводных коллекторов при наличии сезонного термоклина [2–4].

Другой важный пример таких фонтанов — струи, состоящие из газовых пузырьков и выходящие из разломов земной коры на дне океана. Можно ожидать существования подобного явления вблизи подводных источников пресной воды.

Динамика фонтанов изучалась в лабораторных физических экспериментах и в численном моделировании [5–7]. Результаты этих исследований показывают, что дина-

мика струи определяется числами Фруда Fr и Рейнольдса Re , основанными на осевой скорости и диаметре струи, скачке плавучести и кинематической вязкости жидкости. При малых Fr и Re фонтан представляет собой стационарное течение, которое с ростом этих параметров теряет устойчивость. В зависимости от Fr и Re возможно самовозбуждение различных неустойчивых мод колебаний фонтана.

Колебания фонтанов способны излучать внутренние волны, если частота колебаний ниже частоты плавучести. В свою очередь, можно ожидать проявления этих внутренних волн на поверхности воды, что делает возможной дистанционную диагностику подводных плавучих струй. Экспериментальные указания на возможность поверхностных проявлений внутренних волн, связанных с подводным коллектором сточных вод, приведены в [3]. Внутренние волны, вызванные взаимодействием плавучей струи с пикноклином, обнаружены в лабораторном эксперименте [8], в котором выполнялось условие масштабного моделирования по числу Fr для типичной прибрежной сбросовой системы. Результаты указали на то, что при воздействии всплывающих струй возможна генерация внутренних волн в пикноклине. Результаты лабораторных экспериментов и теоретического анализа в [9] показали, что всплывающая струя при взаимодействии с пикноклином совершает квазипериодические колебания в вертикальной плоскости, эффективно генерирующие внутренние волны. Установлено, что источником внутренних волн является осесимметричная, глобальная мода колебаний струи. Заметим, что аналогичная ситуация может возникнуть в случае выхода затопленного фонтана на свободную поверхность. Например, лабораторные эксперименты [10, 11] показывают, что возможна генерация поверхностных волн плоским затопленным фонтаном.

Прямое численное моделирование фонтана, образующегося при проникновении ламинарной струи тяжелой жидкости сквозь пикноклин, показало, что при числе Fr , превышающем некоторое критическое значение, течение становится неустойчивым, и фонтан совершает автоколебания, сопровождающиеся генерацией внутренних волн в пикноклине [12]. Основной пик в частотном спектре внутренних волн совпадает с частотой колебаний верхушки фонтана, которая монотонно уменьшается с ростом Fr . Зависимость амплитуды колебаний верхушки фонтана от Fr в численном моделировании хорошо согласуется с предсказанием теоретической модели конкуренции взаимодействующих мод в режиме мягкого самовозбуждения.

Необходимо отметить, что в перечисленных выше исследованиях рассматривалось относительно небольшое число Re струи ($Re < 10^4$ в лабораторных экспериментах и $Re < 10^3$ в численных экспериментах). На практике, однако (например, в геофизических приложениях), число Рейнольдса, как правило, достаточно велико ($Re > 10^5$), и течения являются турбулентными.

Цель настоящей работы – численное моделирование динамики фонтана, образующегося при проникновении сквозь пикноклин вертикальной турбулентной струи со значением числа Re , близким к натурным ($Re \sim 10^5$) с использованием метода крупных вихрей.

1. Основные уравнения и описание численного метода. Рассматривается жидкость с устойчивой стратификацией плотности со скачком плотности (пикноклином), расположенным на некотором горизонте $Z = Z_0$. Профиль плотности задается в виде [12]

$$R_0(Z) = \rho_0 \left(1 + 0.5 \frac{\Delta\rho}{\rho_0} \left[1 - \tanh \frac{2(Z - Z_0)}{D_0} \right] \right)$$

На нижней границе при $Z = 0$ вертикально вверх втекает струя со средним профилем скорости

$$u(x, y, t) = U_0 \exp(-4(x^2 + y^2)) \quad (1.1)$$

Под действием сил плавучести струя тормозится в окрестности пикноклина, прогибает его и проникает в верхний слой менее тяжелой жидкости на некоторую конечную высоту (до точки поворота). Далее, подобно течению в обычном фонтане, жидкость в струе движется вниз от точки поворота, формируя противоток, и затем радиально растекается в плоскости на горизонте нейтральной плавучести.

Безразмерные переменные определяются как

$$(x, y, z) = \frac{(X, Y, Z)}{D_0}, \quad U_i = \frac{u_i}{U_0}, \quad \rho = \frac{R - R_0(z)}{\Delta\rho}$$

где u_i – компоненты вектора скорости ($i = x, y, z$), R – плотность жидкости.

Для интегрирования уравнений динамики жидкости применяется метод крупных вихрей. В этом методе мгновенные поля скорости и плотности представляются в виде суммы крупномасштабных (или фильтрованных) полей и подсеточных флуктуаций. Влияние флуктуаций на динамику крупномасштабных полей (т.е. напряжения Рейнольдса) учитывается с помощью гипотез замыкания (обзор методов LES представлен в [13]).

Фильтрованные LES-уравнения Навье–Стокса в приближении Буссинеска и условие несжимаемости жидкости для крупномасштабных полей в безразмерных переменных имеют вид

$$\frac{\partial U_i}{\partial t} + U_j \frac{\partial U_i}{\partial x_j} = -\frac{\partial P}{\partial x_i} + \frac{1}{\text{Re}} \frac{\partial^2 U_i}{\partial x_j^2} - \frac{\partial \tau_{ij}}{\partial x_j} - \frac{\delta_{iz}}{\text{Fr}^2} \rho \quad (1.2)$$

$$\frac{\partial U_j}{\partial x_j} = 0$$

где δ_{iz} – символ Кронекера. Уравнение для поля плотности жидкости записывается в виде

$$\frac{\partial \rho}{\partial t} + U_j \frac{\partial \rho}{\partial x_j} + U_z \frac{d\rho_{ref}}{dz} = \frac{1}{\text{Re Pr}} \frac{\partial^2 \rho}{\partial x_j^2} - \frac{\partial \tau_{\rho j}}{\partial x_j} \quad (1.3)$$

где потоки (напряжения Рейнольдса) τ_{ij} и $\tau_{\rho j}$ моделируются с помощью процедуры замыкания, обсуждаемой ниже. Исходный профиль безразмерной плотности в (1.3) имеет вид

$$\rho_{ref}(z) = 1 + 0.5[1 - \tanh 2(z - z_0)] \quad (1.4)$$

где $z_0 = Z_0/D_0$ – горизонт залегания пикноклина. В уравнении (1.3) пренебрегается изменением $\rho_{ref}(z)$, обусловленным молекулярной диффузией. Числа Рейнольдса Re и Фруда Fr в (1.2) определяются как

$$\text{Re} = \frac{U_0 D_0}{\nu}, \quad \text{Fr} = \frac{U_0}{N_0 D_0} \quad (1.5)$$

$$N_0 = \left(-\frac{g}{\rho_0} \frac{dR_0}{dZ} \right)^{1/2} = \left(\frac{g}{\rho_0} \frac{\Delta\rho}{D_0} \right)^{1/2}$$

где ν – кинематическая вязкость жидкости, N_0 – размерная частота плавучести в центре пикноклина. Из (1.2)–(1.4) следует, что безразмерная частота плавучести в центре пикноклина равна $N_m = 1/\text{Fr}$.

В настоящей работе используется модель LES-замыкания, основанная на уравнении для кинетической энергии подсеточной турбулентности, $k = 1/2\tau_{ii}$ [14, 15]. Уравнение для k записывается в виде

$$\frac{\partial k}{\partial t} + U_j \frac{\partial k}{\partial x_j} = \frac{\partial}{\partial x_i} \left(v_t \frac{\partial k}{\partial x_j} \right) + v_t \left(\frac{\partial U_i}{\partial x_j} + \frac{\partial U_j}{\partial x_i} \right) \frac{\partial U_i}{\partial x_j} - c_1 \frac{k^{3/2}}{l} + \frac{v_t}{Fr^2} \left(\frac{d\rho_{ref}}{dz} + \frac{\partial \rho}{\partial z} \right) \quad (1.6)$$

где турбулентная вязкость задается как

$$v_t = c_2 k l^{1/2} \quad (1.7)$$

В (1.7) $c_1 = 0.1$, $c_2 = 0.93$ постоянные коэффициенты, и масштаб длины l равен пространственному шагу сетки. Потоки τ_{ij} и τ_{jp} выражаются как

$$\tau_{ij} - \frac{1}{3} \tau_{kk} = -v_t \left(\frac{\partial U_i}{\partial x_j} + \frac{\partial U_j}{\partial x_i} \right) \quad (1.8)$$

$$\tau_{pj} = -\frac{v_t}{Pr_t} \frac{\partial \rho}{\partial x_j} \quad (1.9)$$

В настоящей работе числа Pr и Pr_t полагаются равными единице.

Уравнения (1.2), (1.3), (1.6) решаются в прямоугольной области с размерами $-30 \leq x \leq 30$, $-30 \leq y \leq 30$ и $0 \leq z \leq 30$. На боковых вертикальных границах области счета, в плоскости (y, z) при $x = \pm 30$, и на верхней горизонтальной границе, в плоскости (x, y) при $z = 30$ ставятся условия Неймана (нулевого сдвига) для всех переменных. На нижней границе, в плоскости (x, y) при $z = 0$, для скорости задается условие, соответствующее направленной вертикально вверх струе нейтральной плавучести (относительно окружающей жидкости) с гауссовым профилем (1.1), на который накладываются флуктуации, в виде

$$U_i^b(x, y, t) = \exp(-4(x^2 + y^2))(\delta_{iz} + U_{ji}(x, y, t)) \quad (1.10)$$

Поле флуктуаций U_{ji} представлено в виде суммы независимых фурье-гармоник со случайными фазами и однородным, широким амплитудным пространственно-временным спектром и амплитудой в 30% от осевой средней скорости. Амплитуда флуктуаций задается достаточно большой для того, чтобы максимально ускорить переход течения в струе в режим развитой турбулентности. Это связано с ограниченным размером области счета по вертикали. Для плотности ставится граничное условие Неймана. Число Рейнольдса струи задается равным $8 \cdot 10^4$, и на расстоянии около 10 исходных диаметров от нижней границы течение в струе становится турбулентным. Значение z_0 в (1.4), определяющее горизонт залегания пикноклина, полагается достаточно большим (равным 15 в безразмерных единицах длины), таким, что влиянием переходных процессов, связанных с установлением турбулентного течения в струе, создаваемого граничным условием (1.10), можно пренебречь.

Уравнения (1.2), (1.3), (1.6) дискретизируются с помощью метода конечных разностей второго порядка точности на однородной разнесенной (“шахматной”) сетке, состоящей из $400 \times 400 \times 200$ узлов по координатам x , y и z соответственно. Интегрирование осуществляется с использованием метода Адамса–Башфорфа [12] второго порядка точности с шагом по времени $\Delta t = 0.015$. Используется метод расщепления [16], и уравнение Пуассона для давления решается с помощью косинус-преобразования по координатам x и y (с использованием быстрого преобразования Фурье) и метода Гаусса по координате z .

Как это будет видно из численных результатов, фонтан генерирует внутренние волны, распространяющиеся в пикноклине к границам области счета (вертикальным плоскостям (y, z) при $x = \pm 30$ и (x, z) при $y = \pm 30$). Для того чтобы избежать отражения внутренних волн от вертикальных границ, в правые части уравнений (1.2) и (1.3) для U_z и ρ добавляются слагаемые $[-F(x, y)U_z]$ и $[-F(x, y)\rho]$, где функция $F(x, y) = 1$ в узком слое (толщиной в одну безразмерную единицу длины) вблизи вертикальных границ, и обращается в ноль в остальной области счета. Таким образом, достигается затухание внутренних волн на границах, и влиянием отраженных волн можно пренебречь [17].

2. Результаты численного моделирования. Численное моделирование проводилось для значений Fr на входе струи (при $z = 0$) в интервале $0 < Fr(0) < 20$ и $Re = 8 \cdot 10^4$ при одинаковых граничных условиях, обсуждаемых выше. В начальный момент времени поля скорости и плотности $U(x, y, z)$ и $\rho(x, y, z)$ полагались равными нулю. Затем адиабатически (пропорционально множителю $1 - \exp(-t)$, где t – время) “включалось” граничное условие для скорости (1.10). Переходные процессы заканчивались, и статистически стационарное распределение полей скорости и плотности достигалось к моменту времени $t \approx 800$. С этого момента времени проводилось вычисление усредненных по времени полей и среднеквадратичных флуктуаций и накопление данных для расчета временных спектров пульсаций. Вычисления проводились на временном интервале $800 < t < 1800$, включающем не менее 5–6 периодов внутренних волн, генерируемых в пикноклине.

При достаточно малых z (при $z < z_0$) влияние стратификации мало, и струя распространяется в практически однородной по плотности жидкости. Поскольку число Рейнольдса достаточно велико ($Re = 8 \cdot 10^4$), под действием исходных флуктуаций струя быстро (на расстоянии нескольких диаметров по z) становится турбулентной. На фиг. 1, а представлены профили средней скорости $\langle U_z(x, 0, z) \rangle$, полученные в численном моделировании для различных чисел Фруда и нормированные на осевую скорость $\langle U_z(0, 0, z) \rangle$ и диаметр струи, вычисляемый на различных расстояниях по z как

$$D(z) = \frac{2}{\sqrt{\pi} \langle U_z(0, 0, z) \rangle} \int_{-L_x}^{L_x} \langle U_z(x, 0, z) \rangle dx \quad (2.1)$$

Профили скорости хорошо описываются автомодельным решением [17]

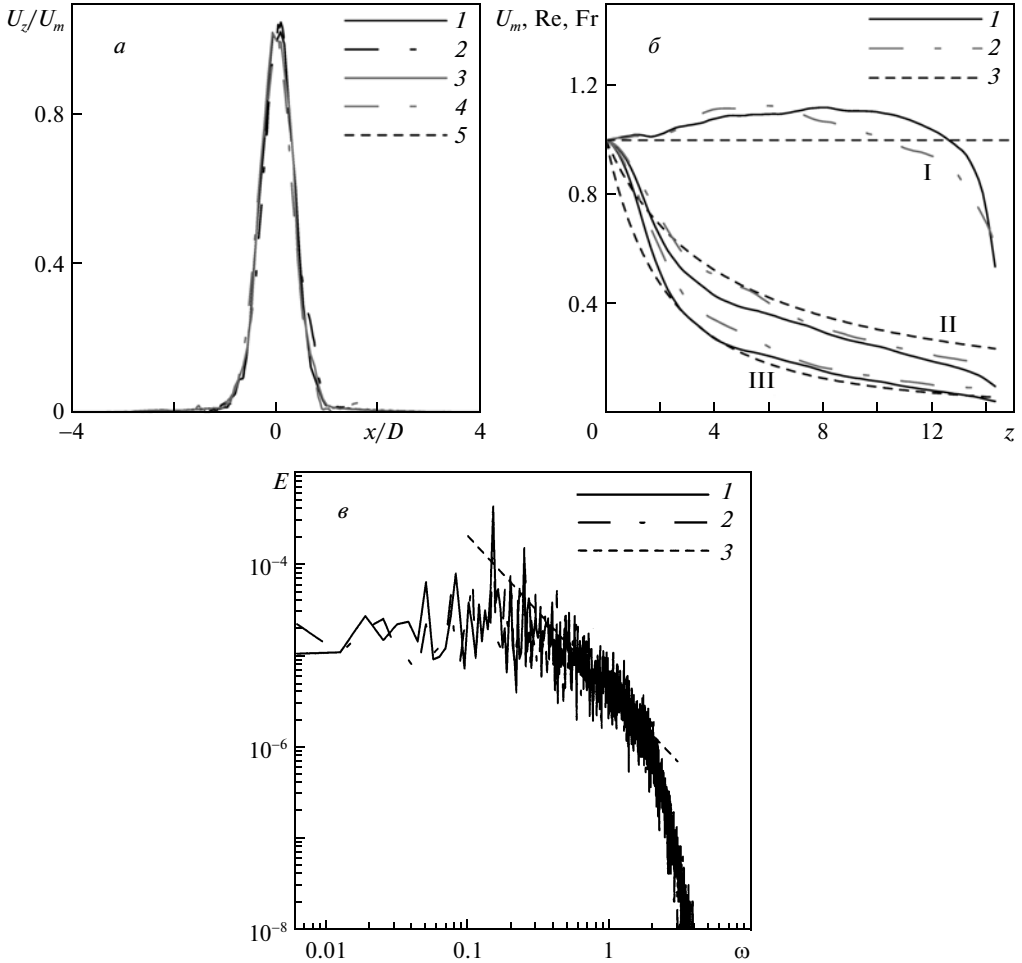
$$\langle U_z(x, y, z) \rangle = U_m(z) \exp\left(-4 \frac{x^2 + y^2}{D^2(z)}\right) \quad (2.2)$$

где $U_m(z) = \langle U_z(0, 0, z) \rangle$. Зависимости осевой скорости и чисел Re и Fr от z , нормированные на их соответствующие исходные значения при $z = 0$, показаны на фиг. 1, б. В области, достаточно удаленной от пикноклина (при $z < 12$), эти зависимости хорошо описываются выражениями

$$U_m(z) = \frac{U(0)D(0)}{0.23z + 1}, \quad Re(z) = Re(0), \quad Fr(z) = \frac{Fr(0)}{(0.23z + 1)^2} \quad (2.3)$$

которые следуют из закона сохранения потока импульса турбулентной струи с коэффициентом расширения 0.23. Это значение коэффициента близко к общепринятому значению (0.22) для осесимметричной турбулентной затопленной струи [18].

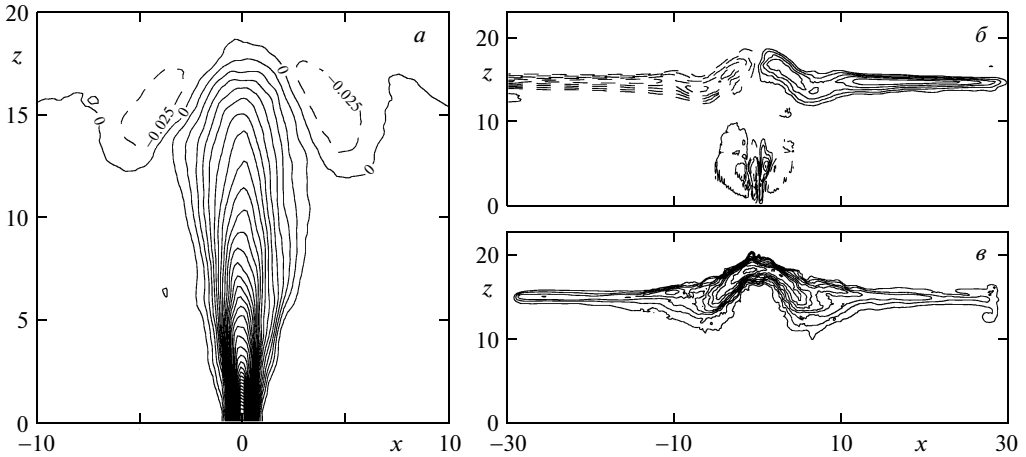
На фиг. 1, в представлен частотный спектр флуктуаций скорости струи $E(\omega)$, полученный в численном моделировании для $Fr(0) = 15$. Спектр рассчитывался и усред-



Фиг. 1. Профили средней вертикальной компоненты скорости $\langle U_z(x, 0) \rangle$ для $Fr(0) = 5$ и 15 при разных z (а); зависимости средней осевой скорости (I) и чисел Re (II) и Fr (III) от z (б) и частотный спектр флуктуаций скорости (в) для различных Fr : а – 1 – $z = 3$, $Fr(0) = 5$; 2 – $z = 12$, $Fr(0) = 5$; 3 – $z = 3$, $Fr(0) = 15$; 4 – $z = 12$, $Fr(0) = 15$; 5 – (2.2); б – 1 – $Fr(0) = 3$; 2 – $Fr(0) = 15$; 3 – (2.3); в – 1 – $Fr(0) = 15$; 3 – $\omega^{-5/3}$

нялся по временным реализациям в пяти точках с координатами $(x = 0, y = 0, z = 12)$, $(x = 0, y = \pm 0.45, z = 12)$, и $(x = \pm 0.45, y = 0, z = 12)$. Видно, что спектр хорошо описывается колмогоровской асимптотикой, характерной для развитой турбулентности $\omega^{-5/3}$ в области частот $0.2 < \omega < 2$. Расчеты для различных чисел Фруда показывают, что спектры практически не зависят от Fr .

Результаты на фиг. 1, б и асимптотика (2.3) показывают, что Fr быстро спадает с ростом z . Таким образом, при подходе к пикноклину локальное значение $Fr(z)$ значительно меньше исходного $Fr(0)$. Ввиду этого в качестве характеристики течения в струе при подходе к пикноклину, непосредственно определяющей свойства фонтана,



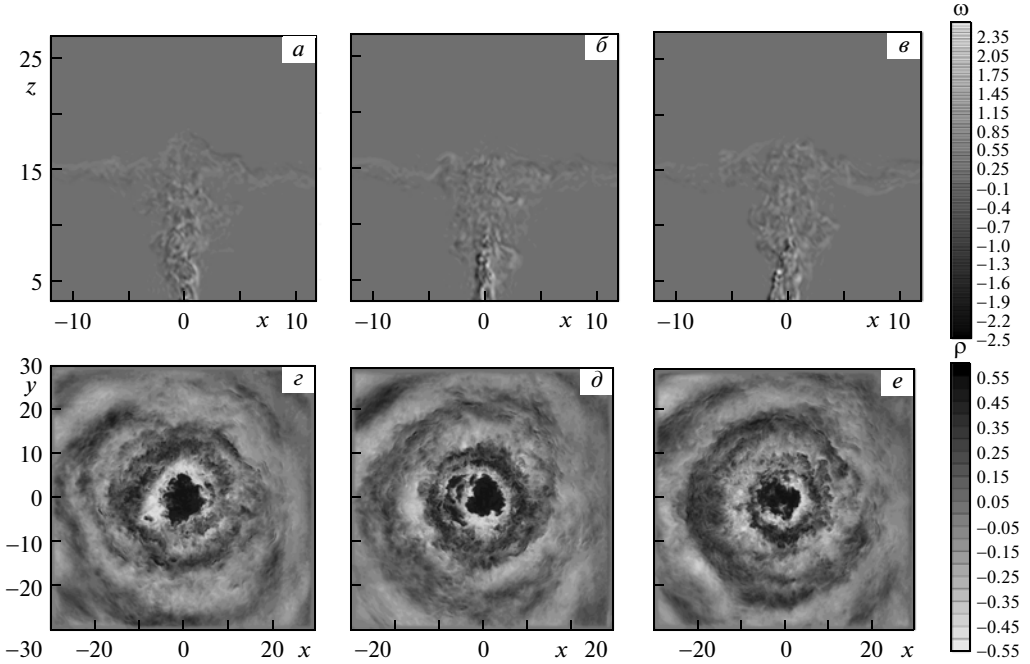
Фиг. 2. Распределения средних вертикальной $\langle U_z \rangle$ (а) и горизонтальной $\langle U_x \rangle$ (б) компонент скорости и среднеквадратичных флуктуаций плотности ρ' (в) в центральной плоскости (x, z) для числа $Fr(0) = 15$: инкременты изолиний: а–в – 0.025; 0.01; 0.04

бралось значение $Fr = Fr(12)$. Необходимо отметить также, что автомодельное решение (2.2), (2.3) хорошо “работает” в области, достаточно удаленной как от пикноклина, при $z < 12$. При $Fr(0) > 15$ амплитуда осцилляций фонтана достаточно велика (порядка 1), и динамика фонтана также изменяет свойства струи вблизи пикноклина. Следовательно, для оценки $Fr(12)$ решение (2.3) не использовалось. Число Фруда при $z = 12$ вычислялось как $Fr(12) = Fr(0)\langle U_z(12) \rangle / D(12)$, где $\langle U_z(12) \rangle$ и $D(12)$ – средняя осевая скорость и диаметр струи, определяемый в (2.1).

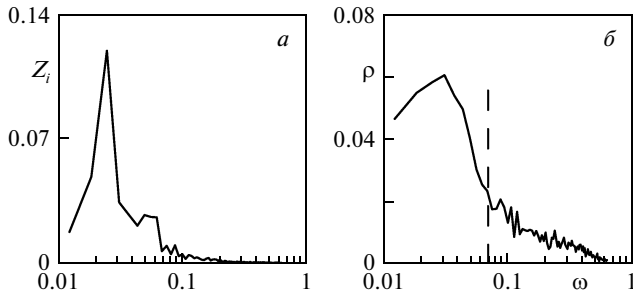
Средние поля вертикальной и горизонтальной компонент скорости и среднеквадратичных флуктуаций плотности на фиг. 2, полученные в численном моделировании для $Fr(12) = 1.5$, показывают, что под действием стратификации струя тормозится в окрестности пикноклина и проникает в верхний слой жидкости на некоторую высоту Z_m до точки поворота. От точки поворота жидкость в струе движется вниз, образуя противоток относительно восходящего потока, и далее растекается в горизонтальной плоскости на уровне пикноклина z_0 . Таким образом, в области $z_0 < z < Z_m$ формируется фонтан.

Результаты вычислений показали, что при $Fr(0) < 3$ среднее течение в фонтане стационарно. При увеличении Fr стационарный режим теряет устойчивость, и фонтан начинает совершать низкочастотные автоколебания, которые, в свою очередь, генерируют внутренние волны в пикноклине. На фиг. 2, в автоколебания проявляются в наличии значительных флуктуаций плотности в области верхушки фонтана. При этом фонтан блуждает в окрестности центра струи и периодически обрушается, генерируя пакеты внутренних волн в пикноклине, которые распространяются от центра к границам области счета (фиг. 3).

В численном моделировании рассчитывались пространственно-осредненные частотные спектры Z_i осцилляций изопикнической поверхности $(Z_{\rho=1.5}(x, y) - z_0)$ с значением плотности, соответствующим центру невозмущенного пикноклина $\rho_{ref}(z_0) = 1.5$, и

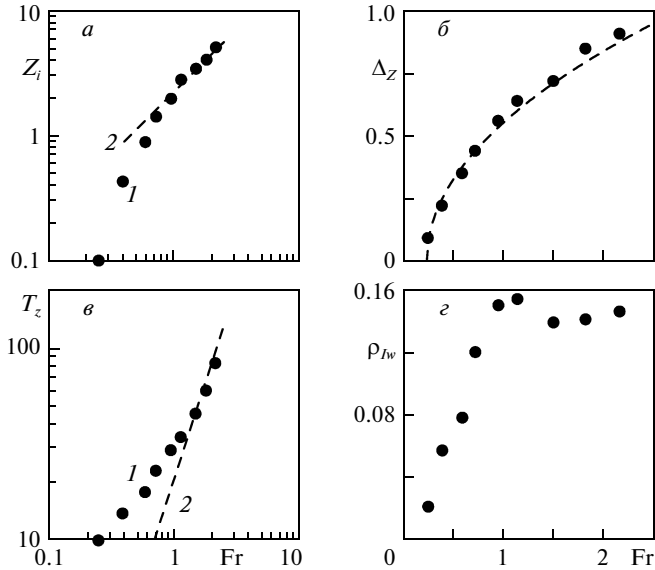


Фиг. 3. Распределение компоненты завихренности ω , в центральной плоскости (x, z) в моменты времени $t = 1440, 1485, 1530$ (а–в) и отклонения плотности ρ от ее среднего значения на горизонте пикноклина в горизонтальной плоскости (x, y) при $t = 1530, 1620, 1710$ (г–е); $Fr(0) = 11$



Фиг. 4. Спектры колебаний изопикны $\rho = 1.5$ (а) и пульсаций плотности ρ (б) для $Fr(12) = 1.5$

спектры внутренних волн (фиг. 4). Спектры Z_i осреднялись по 10 точкам, эквидистантно расположенным на горизонтальной оси в интервале $-5 < x < 5$ при $y = 0$. Спектры внутренних волн осреднялись по 9 точкам, расположенным на окружности с радиусом 20 безразмерных единиц с центром на оси фонтана на горизонте пикноклина на $z = z_0 = 15$. Штриховая линия на фиг. 4, б отмечает максимальное значение частоты



Фиг. 5. Зависимости от $Fr(12)$ высоты фонтана Z_m (а), дисперсии смещения изопикны $Z_{\rho=1.5}$ в области верхушки фонтана Δ_Z (б), периода осцилляций T_z колебаний изопикны $Z_{\rho=1.5}$ (в) и амплитуды внутренних волн ρ_{IW} (г): 1 – Z_m , 2 – Fr (а); 1 – T_z , 2 – Fr^2 (в)

плавучести. Результаты для различных Fr показывают, что частота основного пика в спектрах уменьшается, и амплитуда пика возрастает с увеличением числа Фруда. Во всех случаях основной пик в спектре внутренних волн совпадает по частоте с пиком в спектре Z_i осцилляций интерфейса плотности.

Для того чтобы выяснить, каким образом основные характеристики течения, такие как высота фонтана, дисперсия и характерный период осцилляций верхушки фонтана и амплитуда внутренних волн, зависят от Fr , вычисления проводились для $3 \leq Fr(0) \leq 20$ (фиг. 5).

Высота фонтана Z_m определялась как максимальное вертикальное отклонение изопикны $Z_{\rho=1.5}(x, y = 0)$ относительно исходного уровня пикноклина, усредненное по времени. Видно, что при достаточно больших Fr ($Fr(12) > 1$) высота фонтана растет с увеличением числа Фруда как $Z_m \sim Fr$, что согласуется с известной асимптотикой [1] для турбулентного фонтана тяжелой жидкости в однородной по плотности легкой жидкости.

Дисперсия осцилляций верхушки фонтана Δ_Z определялась по осцилляциям изопикны $Z_{\rho=1.5}(x, y = 0)$ и осреднялась по 10 точкам. Поведение дисперсии Δ_Z на фиг. 5, б довольно неплохо аппроксимируется стационарным решением уравнения Ландау [19], описывающего рост амплитуды возмущения в режиме мягкого самовозбуждения при малой надкритичности в виде

$$\Delta_Z = (\alpha(Fr - Fr_c))^{1/2} \tag{2.4}$$

где $\alpha = 0.4$ и $Fr_c = 0.24$ (штриховая кривая на фиг. 5, б). Таким образом, результаты численного моделирования указывают на то, что стационарное течение теряет устойчивость благодаря бифуркации Андронова–Хопфа, приводящей к развитию нестационарного решения. При этом доминирует осесимметричная мода автоколебаний фонтана, соответствующая режиму обрушений (фиг. 3).

Характерный временной масштаб (период) осцилляций вертушки фонтана определялся по спектру Z_i осцилляций изоповерхности $(Z_{\rho=1.5}(x, y) - z_0)$ в виде

$$T_Z = \left(\int Z_i(\omega) d\omega \right)^{-1} \int Z_i(\omega) \omega^{-1} d\omega \quad (2.5)$$

Из фиг. 5, в видно, что период осцилляций вертушки фонтана монотонно растет с ростом Fr и при $Fr(12) > 1$ пропорционален Fr^2 . Эта асимптотика получается, если предположить, что частота осцилляций вертушки фонтана определяется масштабом скорости U и скачком плавучести $g\Delta\rho/\rho$. Тогда для безразмерного периода осцилляций находим

$$T_Z \sim \frac{\rho U^2}{Dg\Delta\rho} \sim Fr^2 \quad (2.6)$$

Такая же асимптотика для периода осцилляций вертушки фонтана, образующегося при распространении струи тяжелой жидкости в однородной легкой жидкости, наблюдается в эксперименте [6].

Амплитуды внутренних волн определялись по осредненным спектрам в виде

$$\rho_{Iw} = \int \rho(\omega) d\omega \quad (2.7)$$

Из фиг. 5, г видно, что амплитуда ρ_{Iw} увеличивается в области $0.25 < Fr < 1$ и слабо меняется при больших числах Fr . Рост ρ_{Iw} обусловлен увеличением амплитуды осцилляций вертушки фонтана, а его насыщение, по-видимому, связано с нелинейными эффектами, в том числе и с обрушением волн.

Обсуждаемые выше результаты качественно согласуются с данными лабораторного эксперимента в [9]. В этом эксперименте рассматривалось струйное течение с $Re \sim 10^4$, распространяющееся вертикально вверх в жидкости с температурной стратификацией в виде пикноклина. В области пикноклина проводилась подводная съемка течения и выполнялось синхронное измерение возбуждаемых им внутренних волн. Экспериментальные результаты показали, что струя при взаимодействии с пикноклином совершает квазипериодические колебания в вертикальной плоскости, эффективно генерирующие внутренние волны с частотами в окрестности $0.7N_{\max}$ (где N_{\max} — максимальное значение частоты плавучести). Установлено, что при этом преобладает осесимметричная мода колебаний. Численные результаты на фиг. 3, 4 в целом согласуются с этими экспериментальными данными. Более подробное сравнение с лабораторным экспериментом затруднительно, так как толщина пикноклина в лабораторном эксперименте порядка диаметра струи на горизонте пикноклина. В численном эксперименте безразмерная толщина пикноклина порядка единицы, т.е. много меньше диаметра струи вблизи горизонта пикноклина $D(12) \approx 5$ (фиг. 2). Кроме того, число Рейнольдса в лабораторном эксперименте почти на порядок меньше значения $8 \cdot 10^4$, рассматриваемого в численном моделировании, что чрезвычайно важно для количественного сравнения спектров колебаний струи.

Заключение. Численное моделирование динамики фонтана, образующегося при проникновении турбулентной, вертикальной струи сквозь пикноклин в стратифицированной жидкости, показало, что при числе Фруда Fr , превышающем некоторое критическое значение, течение становится неустойчивым, и фонтан совершает автоколебания, сопровождающиеся генерацией внутренних волн в пикноклине. Преобладает осесимметричная мода автоколебаний. Частота внутренних волн совпадает с частотой колебаний верхушки фонтана и уменьшается с ростом числа Фруда. Зависимость амплитуды колебаний верхушки фонтана от Fr в численном моделировании хорошо согласуется с предсказанием модели Ландау для моды неустойчивости в режиме мягкого самовозбуждения.

Работа выполнена при поддержке РФФИ (№ 11-05-00455, 13-05-91175).

СПИСОК ЛИТЕРАТУРЫ

1. *Turner J.S.* Jets and plumes with negative or reversing buoyancy // *J. Fluid Mech.* 1966. V. 26. Pt. 4. P. 779–792.
2. *Koh R. C. Y., Brooks N.H.* Fluid Mechanics of waste-water disposal in the ocean // *Annu. Rev. Fluid Mech.* 1975. V. 7. P. 187–211.
3. *Keeler R., Bondur V., Gibson C.* Optical satellite imagery detection of internal wave effects from a submerged turbulent outfall in the stratified ocean // *Geophys. Res. Letters.* 2005. V. 32. P. L12610.
4. *Бондур В.Г., Журбас В.М., Гребенюк Ю.В.* Математическое моделирование турбулентных струй глубинных стоков в прибрежные акватории // *Океанология.* 2006. Т. 46. № 6. С. 805–820.
5. *Kaye N.B., Hunt G.R.* Weak fountains // *J. Fluid Mech.* 2006. V. 558. P. 319–328.
6. *Williamson N., Srinarayana N., Armfield S.W., McBain G.D., Lin W.* Low Reynolds-number fountain behaviour // *J. Fluid Mech.* 2008. V. 608. P. 297–317.
7. *Lin W., Armfield S.W.* Direct simulation of weak axisymmetric fountains in a homogeneous fluid // *J. Fluid Mech.* 2000. V. 403. P. 67–88.
8. *Троицкая Ю.И., Сергеев Д.А., Ежова Е.В., Соустова И.А., Казаков В.И.* Автогенерация внутренних волн всплывающими струями в стратифицированном бассейне // *Докл. РАН.* 2008. Т. 419. № 5. С. 691–695.
9. *Ежова Е.В., Сергеев Д.А., Кандауров А.А., Троицкая Ю.И.* Нестационарная динамика турбулентных осесимметричных струй в стратифицированной жидкости. I. Экспериментальное исследование // *Изв. РАН. Физика атмосферы и океана.* 2012. Т. 48. № 4. С. 461–470.
10. *Карликов В.П., Трушина О.В.* Об автоколебаниях плоских затопленных фонтанов // *Докл. РАН.* 1998. Т. 361. № 3. С. 340–344.
11. *Карликов В.П., Толоконников С.Л., Трушина О.В.* О возможной классификации автоколебательных режимов фонтанирования плоских вертикальных затопленных струй тяжелой жидкости // *Изв. РАН. МЖГ.* 2009. № 3. С. 23–35.
12. *Дружинин О.А., Троицкая Ю.И.* Генерация внутренних волн фонтаном в стратифицированной жидкости // *Изв. РАН. МЖГ.* 2010. № 3. С. 147–158.
13. *Глазунов А.В.* Вихреразрешающее моделирование турбулентности с использованием смешанного динамического локализованного замыкания. I. Формулировка задачи, описание модели и диагностические численные тесты // *Изв. РАН. Физика атмосферы и океана.* 2009. Т. 45. № 1. С. 7–28.
14. *Yoshizawa A., Horiuti K.* A statistically-derived subgrid-scale kinetic energy model for the large-eddy simulation of turbulent flows // *J. Phys. Soc. Jap.* 1985. V. 54. № 8. P. 2834–2839.

15. *Furbey C., Tabor G., Weller H.G., Gosman A.D.* A comparative study of subgrid scale models in homogeneous isotropic turbulence // *Phys. Fluids*. 1997. V. 9. № 5. P. 1416–1429.
16. *Белоцерковский О.М.* Численное моделирование в механике сплошных сред. М.: Наука, 1984. 519 с.
17. *Brucker K. A., Sarkar S.* A comparative study of self-propelled and towed wakes in a stratified fluid // *J. Fluid Mech.* 2010. V. 652. P. 373–404.
18. *Абрамович Г.Н., Гиринович Т.А., Крашенинников С.Ю. и др.* Теория турбулентных струй. М.: Наука, 1984. 716 с.
19. *Ландау Л.Д., Лившиц Е.М.* Теоретическая физика. Т. 6. Гидродинамика. М.: Наука, 1986. 736 с.

Нижний Новгород
Институт прикладной физики РАН

Поступила в редакцию
26.X.2012